# Fe<sub>4</sub>S<sub>4</sub>I<sub>2</sub>(SPPh<sub>3</sub>)<sub>2</sub>: ein neutraler, gemischt substituierter Eisen-Schwefel-Cluster

Fe<sub>4</sub>S<sub>4</sub>I<sub>2</sub>(SPPh<sub>3</sub>)<sub>2</sub>: a Neutral, Mixed Terminal Ligand Iron-Sulfur Cluster

Wolfgang Saak und Siegfried Pohl\*

Fachbereich Chemie, Universität Oldenburg, Carl-von-Ossietzky-Straße, D-2900 Oldenburg

Z. Naturforsch. 43b, 813-817 (1988); eingegangen am 15. Februar 1988

Neutral, Mixed Terminal Ligand Iron-Sulfur Cluster, Synthesis, Crystal Structure

Fe<sub>4</sub>S<sub>4</sub>I<sub>2</sub>(SPPh<sub>3</sub>)<sub>2</sub> (1) was prepared by the reaction of Fe(THF)<sub>6</sub>Fe<sub>4</sub>S<sub>4</sub>I<sub>4</sub> (THF = C<sub>4</sub>H<sub>8</sub>O), SPPh<sub>3</sub>, and sulfur in toluene and CH<sub>2</sub>Cl<sub>2</sub>. 1 has a lower stability than Fe<sub>4</sub>S<sub>4</sub>I<sub>4</sub><sup>2-</sup> and decomposes in solvents like THF and CH<sub>3</sub>CN. The crystal structure of 1 was determined from single crystal X-ray diffraction data. The compound crystallizes in the triclinic space group P1 with a = 1025.5(1), b = 1082.4(1), c = 2135.5(3) pm, a = 89.82(1),  $\beta = 77.37(1)$ ,  $\gamma = 73.56(1)^{\circ}$ , V = 2214.1×10<sup>6</sup> pm<sup>3</sup> and Z = 2. The [Fe<sub>4</sub>S<sub>4</sub>]<sup>2+</sup> core of 1 exhibits a slight tetragonal distortion. The mean Fe-S and Fe-Fe distances were found to be 227.6 (225.8–228.7) pm and 273.3 (272.9–274.4) pm, respectively. The Fe-SPPh<sub>3</sub> distances (231.6 and 232.1 pm) are longer than the terminal Fe-S bonds in RS-coordinated [Fe<sub>4</sub>S<sub>4</sub>] clusters. The Fe-I bonds are found at 251.6 and 251.8 pm, respectively.

Im Gegensatz zu vierkernigen Eisen-Schwefel-Komplexen Fe<sub>4</sub>S<sub>4</sub>L<sub>4</sub><sup>2-</sup> mit einheitlichen Liganden L existieren bisher nur wenige gemischt substituierte Komplexe dieser Zusammensetzung. Unterschiedliche terminale Liganden beeinflussen nicht nur die strukturellen Eigenschaften der [Fe<sub>4</sub>S<sub>4</sub>]-Cluster [1, 2]. Von Interesse ist auch, daß bei geeigneter Ligandenwahl Eisen-Zentren unterschiedlicher Reaktivität erzeugt und damit gezielte Substitutionsreaktionen ermöglicht werden.

So ist bei  $[Fe_4S_4(L-S_3)Cl]^{2^-}$   $(L-S_3 = C_6(R_3)R'_3)$  mit  $R = S-p-C_6H_4Me$  und  $R' = SC_6H_2(Me_2)S^-)$  [3] bevorzugt das Fe-Cl-Fragment solchen Reaktionen zugänglich.

Außerdem ist über Komplexe dieser Art möglicherweise der bisher noch nicht isolierte, in der Natur aber existierende [4] cyclische [Fe<sub>3</sub>S<sub>4</sub>]-Cluster darstellbar.

Ausgehend von  $Fe_4S_4I_4^{2-}$  [5] versuchen wir, neutrale Eisen-Schwefel-Cluster der Zusammensetzung  $Fe_4S_4I_2L_2$  zu synthetisieren.

Neben der Untersuchung der erwähnten Substitutionsreaktionen sollen über solche Verbindungen höher kondensierte neutrale Cluster mit den Kernen [Fe<sub>6</sub>S<sub>6</sub>] und [Fe<sub>8</sub>S<sub>6</sub>] (zu anionischen Spezies s. [6–8]) dargestellt werden. Im folgenden wird zunächst über Synthese und Struktur von Fe<sub>4</sub>S<sub>4</sub>I<sub>2</sub>(SPPh<sub>3</sub>)<sub>2</sub> berichtet.

Verlag der Zeitschrift für Naturforschung, D-7400 Tübingen 0932–0776/88/0700–0813/\$ 01.00/0

### **Ergebnisse**

Bildung und Verhalten von Fe<sub>4</sub>S<sub>4</sub>I<sub>2</sub>(SPPh<sub>3</sub>)<sub>2</sub>

 $Fe_4S_4I_2(SPPh_3)_2$  (1) wird ausgehend von  $Fe(THF)_6Fe_4S_4I_4$  (2) nach

$$Fe(THF)_6Fe_4S_4I_4 + 2.8 SPPh_3 + 0.4 S \xrightarrow{1. Toluol} \xrightarrow{2. CH_2Cl_2}$$

$$1.1 \text{ Fe}_4\text{S}_4\text{I}_2(\text{SPPh}_3)_2 + 0.6 \text{ FeI}_3(\text{SPPh}_3) + 6 \text{ THF}$$
 (1

dargestellt. Bei der Umsetzung in Toluol wird dem Kation von **2** zunächst das koordinierende THF entzogen. Die Bildung koordinativ ungesättigter Fe(II)-Ionen ermöglicht offensichtlich erst die Substitution von zwei terminalen Iodid-Ionen in Fe<sub>4</sub>S<sub>4</sub>I<sub>4</sub><sup>2-</sup> durch Triphenylphosphinsulfid.

Die Reaktion gemäß

$$Fe(THF)_{6}Fe_{4}S_{4}I_{4} + 2 SPPh_{3} \xrightarrow{-6 THF}$$

$$Fe_{4}S_{4}I_{2}(SPPh_{3})_{2} + FeI_{2}$$
(2)

sollte nach dieser Vorstellung der direkte Weg zu 1 sein. Es entstehen nach (2) jedoch, wahrscheinlich unter dem Einfluß des Lewis-sauren  $FeI_2$ , vor allem amorphe, polymere Substanzen, die nicht eindeutig charakterisiert werden konnten. In Reaktion (1) wird das nach (2) entstehende  $FeI_2$  durch überschüssiges Triphenylphosphinsulfid und Schwefel weiter umgesetzt:

$$FeI_2 + 0.8 SPPh_3 + 0.4 S \rightarrow 0.1 Fe_4S_4I_2(SPPh_3)_2 + 0.6 FeI_3(SPPh_3)$$
 (3)

Die in (3) eingesetzten Molverhältnisse ergeben sich aus der Untersuchung des Systems FeI<sub>2</sub>/I<sup>-</sup>/S [9].

<sup>\*</sup> Sonderdruckanforderungen an Prof. Dr. S. Pohl.

Danach reagieren FeI<sub>2</sub>, Iodid und Schwefel quantitativ in der folgenden Weise:

$$10 \text{ FeI}_2 + 8 \text{ I}^- + 4 \text{ S} \xrightarrow{\text{CH}_2\text{Cl}_2}$$

$$\text{Fe}_4\text{S}_4\text{I}_4^{2^-} + 6 \text{ FeI}_4^{-}$$
(4)

Der Versuch, **1** analog  $Fe_4S_4I_4^{2-}$  in THF zu synthetisieren (s. [5]), also die Umsetzung

4 Fe(CO)<sub>5</sub> + 4 S + 
$$I_2$$
 + 2 SPPh<sub>3</sub> —// $\longrightarrow$   
Fe<sub>4</sub>S<sub>4</sub> $I_2$ (SPPh<sub>3</sub>)<sub>2</sub>, (5)

führt nicht zu dem gewünschten Produkt, sondern zu einem amorphen Niederschlag mit – annähernd – der Zusammensetzung Fe $_3$ S $_4$ . In Lösung verbleiben nicht umgesetztes Triphenylphosphinsulfid sowie FeI $_2$  (d.h. Fe(THF) $_6$ (FeI $_3$ THF) $_2$  [10, 11]). In Übereinstimmung mit diesem Verhalten zersetzt sich 1 in THF und zeigt damit gegenüber potentiell koordinierenden Teilchen, wie THF oder auch CH $_3$ CN, eine deutlich geringere Stabilität als Fe $_4$ S $_4$ I $_4$ <sup>2</sup>. Wahrscheinlich sind dafür die unterschiedlichen Ligandeneigenschaften von Triphenylphosphinsulfid und

Iodid verantwortlich (s. u.). Das würde die Möglichkeit eröffnen, in Lösungsmitteln wie CH<sub>2</sub>Cl<sub>2</sub> gezielt SPPh<sub>3</sub> zu substituieren. Solche Untersuchungen werden z. Z. durchgeführt.

## Kristallstruktur von Fe<sub>4</sub>S<sub>4</sub>I<sub>2</sub>(SPPh<sub>3</sub>)<sub>2</sub>

**1** bildet im Festkörper isolierte Moleküle (s. Abb. 1). Der zentrale  $[Fe_4S_4]^{2^+}$ -Kubus ist gegenüber idealisierter  $T_d$ -Symmetrie leicht verzerrt. Die Fe-S-Abstände liegen bei einem Mittelwert von 227,6 pm zwischen 225,8 und 228,7 pm, die Fe-Fe-Abstände zwischen 272,9 und 274,4 pm (Mittelwert: 273,3 pm, s. Tab. I).

Eine schwache Stauchung des  $Fe_4S_4$ -Würfels parallel zu den Bindungen  $Fe_2-S_3$ ,  $Fe_4-S_4$ ,  $Fe_3-S_2$  und  $Fe_1-S_1$  kommt auch in geringfügig unterschiedlichen S-S-Abständen zum Ausdruck  $(S_1-S_2,S_1-S_3,S_2-S_4)$  und  $S_3-S_4$  zwischen  $S_3-S_4$  und  $S_3-S_4$  zwischen  $S_3-S_4$  und  $S_3-S_4$  und  $S_3-S_4$  zwischen  $S_3-S_4$  und  $S_3-S_4$  u

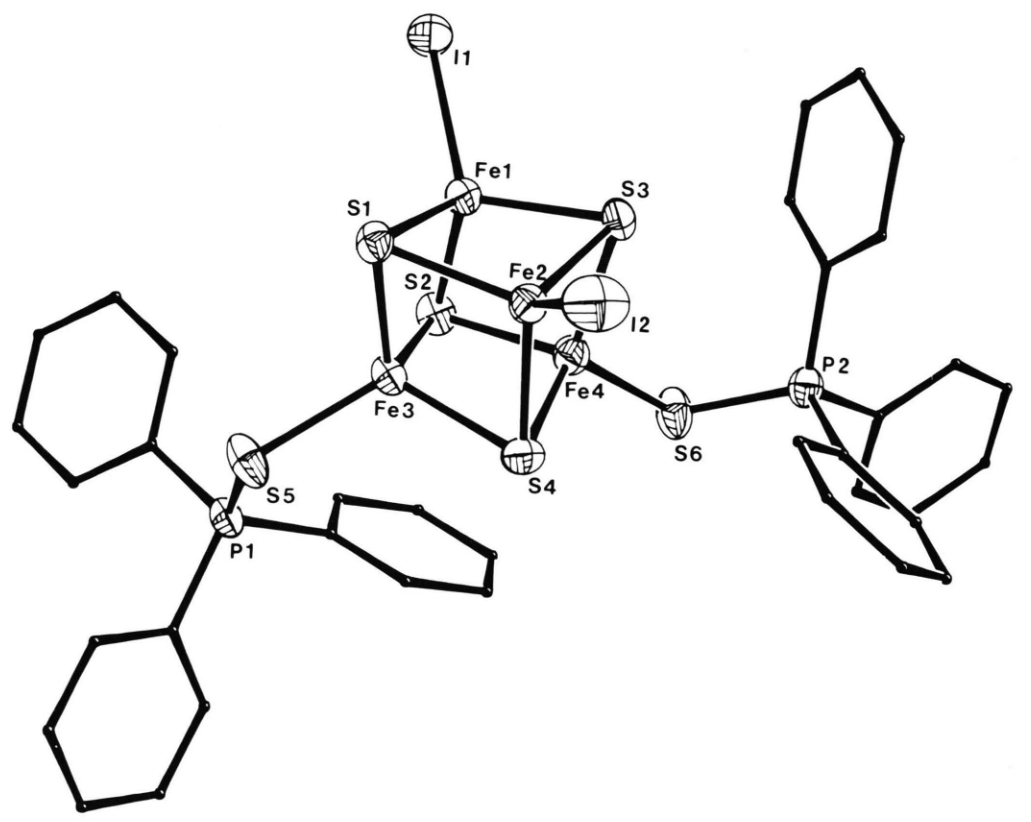


Abb. 1. Molekül von  $Fe_4S_4I_2(SPPh_3)_2$  im Kristall (Phenylgruppen schematisch, ohne H-Atome); Schwingungsellipsoide mit 50% Wahrscheinlichkeit.

Tab. I. Wichtigste interatomare Abstände und Winkel (pm bzw. °) von 1 mit Standardabweichungen in Einheiten der letzten angegebenen Dezimalstelle.

I1-Fe1	251,8(1)	I2-Fe2	251,6(1)
Fe1-Fe2	273,1(2)	Fe1-Fe3	274,4(2)
Fe1-Fe4	273,0(2)	Fe2-Fe3	273,4(2)
Fe2-Fe4	273,2(2)	Fe3-Fe4	272,9(2)
Fe1-S1	226,6(3)	Fe1-S2	228,6(3)
Fe1-S3	227,8(3)	Fe2-S1	227,7(3)
Fe2-S3	226,6(3)	Fe2-S4	228,4(3)
Fe3-S1	228,7(2)	Fe3-S2	225,8(3)
Fe3-S4	228,5(3)	Fe3-S5	231,6(3)
Fe4-S2	227,9(3)	Fe4-S3	228,1(3)
Fe4-S4	226,2(3)	Fe4-S6	232,1(3)
S5-P1	201,7(3)	S6-P2	201,4(3)
P1-C6	179,2(7)	P1-C12	178,8(6)
P1-C18	178,8(7)	P2-C24	178,6(7)
P2-C30	179,2(6)	P2-C36	178,3(8)
I1-Fe1-S1 I1-Fe1-S3 S1-Fe1-S3 I2-Fe2-S1 I2-Fe2-S4 S1-Fe2-S4 S1-Fe3-S5 S2-Fe3-S5 S2-Fe3-S5 S2-Fe4-S6 S3-Fe4-S6	117,2(1) 114,0(1) 103,9(1) 116,1(1) 112,6(1) 104,8(1) 106,7(1) 106,7(1) 101,7(1) 104,7(1) 108,6(1) 116,4(1)	I1-Fe1-S2 S1-Fe1-S2 S2-Fe1-S3 I2-Fe2-S3 S1-Fe2-S3 S3-Fe2-S4 S1-Fe3-S4 S2-Fe3-S4 S2-Fe3-S5 S2-Fe4-S4 S3-Fe4-S4 S4-Fe4-S6	112,3(1) 103,5(1) 104,6(1) 114,4(1) 104,0(1) 103,7(1) 104,4(1) 103,9(1) 114,7(1) 104,0(1) 103,9(1) 117,8(1)
Fe1-S1-Fe2	73,9(1)	Fe1-S1-Fe3	74,1(1)
Fe2-S1-Fe3	73,6(1)	Fe1-S2-Fe3	74,3(1)
Fe1-S2-Fe4	73,5(1)	Fe3-S2-Fe4	74,0(1)
Fe1-S3-Fe2	73,9(1)	Fe1-S3-Fe4	73,6(1)
Fe2-S3-Fe4	73,8(1)	Fe2-S4-Fe3	73,5(1)
Fe2-S4-Fe4	73,9(1)	Fe3-S4-Fe4	73,8(1)
Fe3-S5-P1	107,0(1)	Fe4-S6-P2	107,9(1)
S5-P1-C6	110,7(2)	S5-P1-C12	112,8(2)
S5-P1-C18	108,9(2)	C6-P1-C12	108,5(3)
C6-P1-C18	107,9(3)	C12-P1-C18	107,8(3)
S6-P2-C24	113,2(3)	S6-P2-C30	107,9(2)
S6-P2-C36	112,9(2)	C24-P2-C30	108,4(3)
C24-P2-C36	108,3(3)	C30-P2-C36	105,8(3)

Solche tetragonalen Verzerrungen sind bei  $[Fe_4S_4]^{2+}$ -Clustern die Regel, von der es aber auch mehrere Ausnahmen gibt (s. [12] sowie dort zit. Lit.).

Die Abstände Fe3–S5 und Fe4–S6 (Abb. 1), d. h. von Eisen zu den terminalen Schwefel-Atomen der Triphenylphosphinsulfid-Moleküle, sind mit 231,6 bzw. 232,1 pm deutlich größer als die entsprechenden Fe-S-Abstände in thiolatsubstituierten [Fe $_4$ S $_4$ ]-Clustern [13]. Das stimmt mit der Annahme überein, daß der anionische Schwefel der Thiolat-Gruppen der bessere  $\sigma$ -Donor sein sollte.

Dagegen liegen die Fe-I-Abstände mit im Mittel 251,7 pm an der unteren Grenze der bisher beobachteten derartigen Bindungslängen in iodsubstituierten Eisen-Schwefel-Clustern [12].

Beide Effekte sind möglicherweise ein Hinweis darauf, daß bei Reaktionen von 1 die durch Triphenylphosphinsulfid koordinierten Eisenatome bevorzugte Angriffspunkte sind, so z.B. auch bei der beobachteten Zersetzung in THF.

#### **Experimentelles**

# Röntgenstrukturanalyse

Für die Strukturbestimmung wurde ein Einkristall von 1 in ein Markröhrchen eingeschlossen. Verfeinerung der Gitterkonstanten und Messung der Reflexintensitäten erfolgten auf einem Siemens-Stoe-AED 2-Vierkreisdiffraktometer ( $\omega$ -2 $\theta$ -scan-Methode, Mo- $K_{\alpha}$ -Strahlung,  $\lambda$  = 71,069 pm, Graphit-Monochromator, Szintillationszähler).

Kristalldaten, Meßdaten und abschließende R-Werte sind in Tab. II zusammengestellt.

Die gemessenen Intensitäten wurden nach Lorentz- und Polarisationskorrekturen sowie einer empirischen Absorptionskorrektur zu Strukturfaktoren reduziert. Die Struktur wurde nach direkten Metho-

```
Farbe, Form
                                           schwarze Nadeln
Dimension Meßkristall
                                           0.05 \times 0.1 \times 0.4 \text{ mm}
Kristallsystem, Raumgruppe
                                           triklin P1
Gitterkonstanten [pm, °]
                                           a = 1025,5(1), b = 1082,4(1), c = 2135,5(3)
                                           \alpha = 89,82(1), \beta = 77,37(1), \gamma = 73,56(1)
Volumen der Zelle [pm³]
                                           2214,1 \times 10^6
Zahl der Formeleinheiten/Zelle
                                           2
röntgenograph. Dichte [g·cm<sup>-3</sup>]
                                           1,791
linearer Absorptions-
  koeffizient [cm<sup>-1</sup>]
                                           30,03
Absorptionskorrektur
                                           empirisch (\psi-scan)
\sin\theta_{\rm max}/\lambda \, [{\rm \AA}^{-1}]
                                           0,572
Zahl der unabhängigen Reflexe
                                           6088
Zahl der beobachteten Reflexe<sup>a</sup>
                                           4170
Zahl der Variablen
für beobachtete Reflexeb
                                           R_1 = 0.049, R_2 = 0.040
```

Tab. II. Kristalldaten, Meßdaten und abschließende *R*-Werte von Fe<sub>4</sub>S<sub>4</sub>I<sub>2</sub>(SPPh<sub>3</sub>)<sub>2</sub>.

<sup>&</sup>lt;sup>a</sup> Beobachtete Reflexe:  $I > 2\sigma(I)$ ; <sup>b</sup>  $R_1$ ,  $R_2$ : ungewichteter bzw. gewichteter R-Wert; Definitionen von  $R_1$ ,  $R_2$  und  $\sigma$  s. [15].

den mit dem SHELXS-86- bzw. SHELX-76-Programmsystem gelöst und verfeinert [14] (Rechner Micro VAX II).

Das Gewichtsschema basierte auf der statistischen Varianz der Meßwerte. Im letzten Zyklus der Verfeinerung waren die Parameterverschiebungen kleiner als  $0,1\sigma$ . Die Atomformfaktoren wurden den International Tables entnommen [16]. Die Atomparameter für 1 sind in Tab. III angeführt\*.

#### Darstellung

Sämtliche Arbeiten wurden unter Ausschluß von Luft und Feuchtigkeit in  $N_2$ -Atmosphäre in getrockneten und sauerstofffreien Lösungsmitteln ausgeführt.

 $Fe(THF)_6Fe_4S_4I_4\cdot 4$  THF (THF =  $C_4H_8O$ ; Tetrahydrofuran) wird nach [5] dargestellt. Die Solvat-Moleküle werden vor der Umsetzung abgezogen (60 °C, 0,1 Torr).

 $Fe_4S_4I_2[SP(C_6H_5)_3]_2$  (1): Eine Suspension bzw. Lösung von 13,48 g (10 mmol) Fe(THF)<sub>6</sub>Fe<sub>4</sub>S<sub>4</sub>I<sub>4</sub>, 8,24 g (28 mmol) (C<sub>6</sub>H<sub>5</sub>)<sub>3</sub>PS und 0,128 g (0,5 mmol) S<sub>8</sub> in 80 ml Toluol wird unter Erwärmen (60 °C) 2 h gerührt. Das Lösungsmittel wird langsam vollständig abgezogen, wobei die Temperatur 80 °C nicht übersteigen soll. Der feingemörserte Rückstand wird in 200 ml CH<sub>2</sub>Cl<sub>2</sub> aufgenommen und ca. 24 h gerührt. Die Farbe schlägt dabei von tief bräunlichgrün nach schwarz um. Nach Filtrieren wird die Lösung auf ca. 100 ml eingeengt. Die Kristallisation (dichte Nadelpolster) setzt nach 3–4 d ein. Nach ca. 2 Wochen wurden auf diese Weise 5,3 g von 1 erhalten (ca. 40% bezogen auf Reaktion (1)).

 $C_{36}H_{30}P_2S_6Fe_4I_2$  (1194,1)

Ber. C36,21 H2,53 S16,11 Fe18,71 I21,26, Gef. C36,26 H2,84 S15,87 Fe18,49 I21,43.

Das bei der Synthese von 1 ebenfalls gebildete  $FeI_3(SPPh_3)$  ist in  $CH_2Cl_2$  extrem gut löslich und kristallisiert unter diesen Bedingungen nicht aus.

Die Stabilität von kristallinem  ${\bf 1}$  an der Luft ist nur wenig geringer als die der Tetraalkylammoniumsalze von Fe<sub>4</sub>S<sub>4</sub>I<sub>4</sub><sup>2-</sup> [5]. So ist  ${\bf 1}$  an der Luft mehrere Tage ohne sichtbare Zersetzung haltbar (zur unterschiedlichen Stabilität in koordinierenden Lösungsmitteln s. o.).

Tab. III. Atomkoordinaten ( $\times 10^4$ ) und isotrope Temperaturfaktoren (pm² $\times 10^{-1}$ ) mit Standardabweichungen in Einheiten der letzten angegebenen Dezimalstelle.

The content of the	Elimeten der letzten angegebenen Dezimaistene.					
12		x	у	z	$U_{(eq)}^{a}$	
Fe1	I 1	789(1)	5652(1)	1673(1)	61(1)	
Fe2	12	6805(1)	5781(1)	2629(1)	87(1)	
Fe2	Fe1	2606(1)	4594(1)	2286(1)	37(1)	
Fe3						
Fe4         4611(1)         2333(1)         2326(1)         39(1)           S1         2751(2)         5756(2)         3136(1)         38(1)           S2         2268(2)         2746(2)         2721(1)         43(1)           S3         4828(2)         3972(2)         1674(1)         41(1)           S4         5412(2)         2766(2)         3183(1)         45(1)           S5         2047(3)         3836(2)         4536(1)         55(1)           S6         5487(3)         258(2)         1842(1)         51(1)           P1         1263(2)         2325(2)         4710(1)         37(1)           P2         7164(2)         2325(2)         42(5)           C2         -2426(7)         3753(6)         4183(2)         68(6)           C3         -3393(7)         3524(6)         4706(2)         71(6)			3 - 5			
S1         2751(2)         5756(2)         3136(1)         38(1)           S2         2268(2)         2746(2)         2721(1)         43(1)           S3         4828(2)         3972(2)         1674(1)         41(1)           S4         5412(2)         2766(2)         3183(1)         45(1)           S5         2047(3)         3836(2)         4536(1)         55(1)           S6         5487(3)         258(2)         1842(1)         51(1)           P1         1263(2)         2325(2)         4710(1)         37(1)           P2         7164(2)         210(2)         1135(1)         38(1)           C1         - 1009(7)         3386(6)         4186(2)         52(5)           C2         - 2426(7)         3753(6)         4183(2)         68(6)           C3         - 3393(7)         3524(6)         4706(2)         71(6)           C4         - 2944(7)         2928(6)         5232(2)         62(5)           C5         - 1528(7)         2561(6)         5236(2)         44(4)           C6         - 560(7)         2790(6)         4713(2)         40(4)           C7         1373(5)         431(6)         3815(3)         42		. ,				
S2         2268(2)         2746(2)         2721(1)         43(1)           S3         4828(2)         3972(2)         1674(1)         41(1)           S4         5412(2)         2766(2)         3183(1)         45(1)           S5         2047(3)         3836(2)         4536(1)         55(1)           S6         5487(3)         258(2)         1842(1)         51(1)           P1         1263(2)         2325(2)         4710(1)         37(1)           P2         7164(2)         210(2)         1135(1)         38(1)           C1         - 1009(7)         3386(6)         4186(2)         52(5)           C2         - 2426(7)         3753(6)         4183(2)         68(6)           C3         - 3393(7)         3524(6)         4706(2)         71(6)           C4         - 2944(7)         2928(6)         5232(2)         62(5)           C5         - 1528(7)         2561(6)         5236(2)         44(4)           C6         - 560(7)         2790(6)         4713(2)         40(4)           C7         1373(5)         431(6)         3815(3)         37(5)           C8         2065(5)         - 596(6)         3359(3)         5				, ,		
S3         4828(2)         3972(2)         1674(1)         41(1)           S4         5412(2)         2766(2)         3183(1)         45(1)           S5         2047(3)         3836(2)         4536(1)         55(1)           S6         5487(3)         258(2)         1842(1)         51(1)           P1         1263(2)         2325(2)         4710(1)         37(1)           P2         7164(2)         210(2)         1135(1)         38(1)           C1         - 1009(7)         3386(6)         4186(2)         52(5)           C2         - 2426(7)         3753(6)         4183(2)         68(6)           C3         - 3393(7)         3524(6)         4706(2)         71(6)           C4         - 2944(7)         2928(6)         5232(2)         62(5)           C5         - 1528(7)         2561(6)         5236(2)         44(4)           C6         - 560(7)         2790(6)         4713(2)         40(4)           C7         1373(5)         431(6)         3815(3)         42(4)           C8         2065(5)         - 596(6)         3359(3)         57(5)           C9         3518(5)         - 1066(6)         3223(3) <td< td=""><td></td><td></td><td></td><td>, ,</td><td></td></td<>				, ,		
S4         5412(2)         2766(2)         3183(1)         45(1)           S5         2047(3)         3836(2)         4536(1)         55(1)           S6         5487(3)         258(2)         1842(1)         51(1)           P1         1263(2)         2325(2)         4710(1)         37(1)           P2         7164(2)         210(2)         1135(1)         38(1)           C1         - 1009(7)         3386(6)         4186(2)         52(5)           C2         - 2426(7)         3753(6)         4183(2)         68(6)           C3         - 3393(7)         3524(6)         4706(2)         71(6)           C4         - 2944(7)         2928(6)         5232(2)         62(5)           C5         - 1528(7)         2561(6)         5236(2)         44(4)           C6         - 560(7)         2790(6)         4713(2)         40(4)           C7         1373(5)         431(6)         3815(3)         42(4)           C8         2065(5)         - 596(6)         3359(3)         57(5)           C9         3518(5)         - 1066(6)         3223(3)         55(5)           C10         4279(5)         - 507(6)         3544(3)         <					` /	
S5         2047(3)         3836(2)         4536(1)         55(1)           S6         5487(3)         258(2)         1842(1)         51(1)           P1         1263(2)         2325(2)         4710(1)         37(1)           P2         7164(2)         210(2)         1135(1)         38(1)           C1         - 1009(7)         3386(6)         4186(2)         52(5)           C2         - 2426(7)         3753(6)         4183(2)         68(6)           C3         - 3393(7)         3524(6)         4706(2)         71(6)           C4         - 2944(7)         2928(6)         5232(2)         62(5)           C5         - 1528(7)         2561(6)         5236(2)         44(4)           C6         - 560(7)         2790(6)         4713(2)         40(4)           C7         1373(5)         431(6)         3815(3)         42(4)           C8         2065(5)         - 596(6)         3359(3)         57(5)           C9         3518(5)         - 1066(6)         3223(3)         55(5)           C10         4279(5)         - 507(6)         3544(3)         60(5)           C11         3588(5)         520(6)         4000(3)         <						
S6         5487(3)         258(2)         1842(1)         51(1)           P1         1263(2)         2325(2)         4710(1)         37(1)           P2         7164(2)         210(2)         1135(1)         38(1)           C1         - 1009(7)         3386(6)         4186(2)         52(5)           C2         - 2426(7)         3753(6)         4183(2)         68(6)           C3         - 3393(7)         3524(6)         4706(2)         71(6)           C4         - 2944(7)         2928(6)         5232(2)         62(5)           C5         - 1528(7)         2561(6)         5236(2)         44(4)           C6         - 560(7)         2790(6)         4713(2)         40(4)           C7         1373(5)         431(6)         3815(3)         42(4)           C8         2065(5)         - 596(6)         3359(3)         57(5)           C9         3518(5)         - 1066(6)         3223(3)         55(5)           C10         4279(5)         - 507(6)         3544(3)         60(5)           C11         3588(5)         520(6)         4000(3)         46(4)           C12         2135(5)         989(6)         4135(3)         <						
P1		, ,		/	` '	
P2					, ,	
C1         - 1009(7)         3386(6)         4186(2)         52(5)           C2         - 2426(7)         3753(6)         4183(2)         68(6)           C3         - 3393(7)         3524(6)         4706(2)         71(6)           C4         - 2944(7)         2928(6)         5232(2)         62(5)           C5         - 1528(7)         2561(6)         5236(2)         44(4)           C6         - 560(7)         2790(6)         4713(2)         40(4)           C7         1373(5)         431(6)         3815(3)         42(4)           C8         2065(5)         - 596(6)         3359(3)         57(5)           C9         3518(5)         - 1066(6)         3223(3)         55(5)           C10         4279(5)         - 507(6)         3544(3)         60(5)           C11         3588(5)         520(6)         4000(3)         46(4)           C12         2135(5)         989(6)         4135(3)         38(4)           C13         1066(7)         2695(5)         6005(3)         54(5)           C14         1180(7)         2294(5)         6617(3)         65(6)           C15         1682(7)         983(5)         6710(3)						
$\begin{array}{cccccccccccccccccccccccccccccccccccc$		1 /				
$\begin{array}{cccccccccccccccccccccccccccccccccccc$						
$\begin{array}{cccccccccccccccccccccccccccccccccccc$					. ,	
$\begin{array}{cccccccccccccccccccccccccccccccccccc$						
$\begin{array}{cccccccccccccccccccccccccccccccccccc$						
C7         1373(5)         431(6)         3815(3)         42(4)           C8         2065(5)         - 596(6)         3359(3)         57(5)           C9         3518(5)         - 1066(6)         3223(3)         55(5)           C10         4279(5)         - 507(6)         3544(3)         60(5)           C11         3588(5)         520(6)         4000(3)         46(4)           C12         2135(5)         989(6)         4135(3)         38(4)           C13         1066(7)         2695(5)         6005(3)         54(5)           C14         1180(7)         2294(5)         6617(3)         65(6)           C15         1682(7)         983(5)         6710(3)         78(6)           C16         2070(7)         75(5)         6192(3)         75(6)           C17         1956(7)         476(5)         5579(3)         53(5)           C18         1454(7)         1786(5)         5486(3)         43(4)           C19         9850(7)         -632(5)         1326(3)         62(5)           C20         10973(7)         -644(5)         1897(3)         85(7)           C21         10860(7)         644(5)         1897(3)						
C8         2065(5)         - 596(6)         3359(3)         57(5)           C9         3518(5)         - 1066(6)         3223(3)         55(5)           C10         4279(5)         - 507(6)         3544(3)         60(5)           C11         3588(5)         520(6)         4000(3)         46(4)           C12         2135(5)         989(6)         4135(3)         38(4)           C13         1066(7)         2695(5)         6005(3)         54(5)           C14         1180(7)         2294(5)         6617(3)         65(6)           C15         1682(7)         983(5)         6710(3)         78(6)           C16         2070(7)         75(5)         6192(3)         75(6)           C17         1956(7)         476(5)         5579(3)         53(5)           C18         1454(7)         1786(5)         5486(3)         43(4)           C19         9850(7)         -632(5)         1326(3)         62(5)           C20         10973(7)         -499(5)         1562(3)         86(7)           C21         10860(7)         644(5)         1897(3)         85(7)           C22         9625(7)         1655(5)         1997(3) <t< td=""><td></td><td>(.)</td><td></td><td></td><td></td></t<>		(.)				
$\begin{array}{cccccccccccccccccccccccccccccccccccc$		( )				
$\begin{array}{cccccccccccccccccccccccccccccccccccc$						
$\begin{array}{cccccccccccccccccccccccccccccccccccc$		3518(5)				
C12         2135(5)         989(6)         4135(3)         38(4)           C13         1066(7)         2695(5)         6005(3)         54(5)           C14         1180(7)         2294(5)         6617(3)         65(6)           C15         1682(7)         983(5)         6710(3)         78(6)           C16         2070(7)         75(5)         6192(3)         75(6)           C17         1956(7)         476(5)         5579(3)         53(5)           C18         1454(7)         1786(5)         5486(3)         43(4)           C19         9850(7)         -632(5)         1326(3)         62(5)           C20         10973(7)         -499(5)         1562(3)         86(7)           C21         10860(7)         644(5)         1897(3)         85(7)           C22         9625(7)         1655(5)         1997(3)         72(6)           C23         8502(7)         1522(5)         1762(3)         60(5)           C24         8615(7)         378(5)         1427(3)         42(4)           C25         7594(6)         -2411(6)         1021(2)         48(4)           C26         8000(6)         -3614(6)         687(2) <td< td=""><td>C10</td><td>4279(5)</td><td>-507(6)</td><td></td><td>60(5)</td></td<>	C10	4279(5)	-507(6)		60(5)	
$\begin{array}{cccccccccccccccccccccccccccccccccccc$	C11	3588(5)	520(6)	4000(3)	46(4)	
$\begin{array}{cccccccccccccccccccccccccccccccccccc$	C12	2135(5)	989(6)	4135(3)	38(4)	
$\begin{array}{cccccccccccccccccccccccccccccccccccc$	C13	1066(7)		6005(3)		
C15         1682(7)         983(5)         6710(3)         78(6)           C16         2070(7)         75(5)         6192(3)         75(6)           C17         1956(7)         476(5)         5579(3)         53(5)           C18         1454(7)         1786(5)         5486(3)         43(4)           C19         9850(7)         - 632(5)         1326(3)         62(5)           C20         10973(7)         - 499(5)         1562(3)         86(7)           C21         10860(7)         644(5)         1897(3)         85(7)           C22         9625(7)         1655(5)         1997(3)         72(6)           C23         8502(7)         1522(5)         1762(3)         60(5)           C24         8615(7)         378(5)         1427(3)         42(4)           C25         7594(6)         -2411(6)         1021(2)         48(4)           C26         8000(6)         -3614(6)         687(2)         61(5)           C27         8497(6)         -3723(6)         21(2)         57(5)           C28         8588(6)         -2628(6)         -311(2)         67(6)           C29         8182(6)         -1424(6)         22(2)         <	C14	1180(7)	2294(5)	6617(3)	65(6)	
$\begin{array}{cccccccccccccccccccccccccccccccccccc$	C15	1682(7)	983(5)	6710(3)	78(6)	
$\begin{array}{cccccccccccccccccccccccccccccccccccc$	C16	2070(7)	75(5)	6192(3)	75(6)	
$\begin{array}{cccccccccccccccccccccccccccccccccccc$	C17	1956(7)	476(5)	5579(3)	53(5)	
$\begin{array}{cccccccccccccccccccccccccccccccccccc$	C18	1454(7)	1786(5)		43(4)	
$\begin{array}{cccccccccccccccccccccccccccccccccccc$	C19				62(5)	
$\begin{array}{cccccccccccccccccccccccccccccccccccc$	C20				86(7)	
$\begin{array}{cccccccccccccccccccccccccccccccccccc$			, ,			
$\begin{array}{cccccccccccccccccccccccccccccccccccc$						
$\begin{array}{cccccccccccccccccccccccccccccccccccc$			1			
$\begin{array}{cccccccccccccccccccccccccccccccccccc$						
$\begin{array}{cccccccccccccccccccccccccccccccccccc$						
C27     8497(6)     - 3723(6)     21(2)     57(5)       C28     8588(6)     - 2628(6)     - 311(2)     67(6)       C29     8182(6)     - 1424(6)     22(2)     48(5)       C30     7685(6)     - 131(6)     688(2)     40(4)       C31     5564(6)     1608(7)     354(3)     65(5)       C32     5265(6)     2522(7)     - 96(3)     87(7)       C33     6194(6)     3229(7)     - 330(3)     87(7)       C34     7423(6)     3023(7)     - 113(3)     69(6)       C35     7722(6)     2110(7)     337(3)     57(5)		` '				
C28       8588(6)       - 2628(6)       - 311(2)       67(6)         C29       8182(6)       - 1424(6)       22(2)       48(5)         C30       7685(6)       - 1316(6)       688(2)       40(4)         C31       5564(6)       1608(7)       354(3)       65(5)         C32       5265(6)       2522(7)       - 96(3)       87(7)         C33       6194(6)       3229(7)       - 330(3)       87(7)         C34       7423(6)       3023(7)       - 113(3)       69(6)         C35       7722(6)       2110(7)       337(3)       57(5)						
C29     8182(6)     -1424(6)     22(2)     48(5)       C30     7685(6)     -1316(6)     688(2)     40(4)       C31     5564(6)     1608(7)     354(3)     65(5)       C32     5265(6)     2522(7)     - 96(3)     87(7)       C33     6194(6)     3229(7)     - 330(3)     87(7)       C34     7423(6)     3023(7)     - 113(3)     69(6)       C35     7722(6)     2110(7)     337(3)     57(5)					` '	
C30       7685(6)       -1316(6)       688(2)       40(4)         C31       5564(6)       1608(7)       354(3)       65(5)         C32       5265(6)       2522(7)       - 96(3)       87(7)         C33       6194(6)       3229(7)       - 330(3)       87(7)         C34       7423(6)       3023(7)       - 113(3)       69(6)         C35       7722(6)       2110(7)       337(3)       57(5)	C20					
C31 5564(6) 1608(7) 354(3) 65(5) C32 5265(6) 2522(7) - 96(3) 87(7) C33 6194(6) 3229(7) - 330(3) 87(7) C34 7423(6) 3023(7) - 113(3) 69(6) C35 7722(6) 2110(7) 337(3) 57(5)			, ,			
C32 5265(6) 2522(7) - 96(3) 87(7) C33 6194(6) 3229(7) - 330(3) 87(7) C34 7423(6) 3023(7) - 113(3) 69(6) C35 7722(6) 2110(7) 337(3) 57(5)		( )			, ,	
C33 6194(6) 3229(7) - 330(3) 87(7) C34 7423(6) 3023(7) - 113(3) 69(6) C35 7722(6) 2110(7) 337(3) 57(5)					. ,	
C34 7423(6) 3023(7) - 113(3) 69(6) C35 7722(6) 2110(7) 337(3) 57(5)						
C35 7722(6) 2110(7) 337(3) 57(5)						
				(-)		
C36 6793(6) 1402(7) 570(3) 39(4)				, ,	. /	
	C36	6793(6)	1402(7)	570(3)	39(4)	

 $<sup>^{\</sup>rm a}$  Definiert als ein Drittel der Spur des orthogonalen  $U_{\rm ij}\text{-}$  Tensors.

Der Deutschen Forschungsgemeinschaft und dem Fonds der Chemischen Industrie wird für finanzielle Unterstützung gedankt.

<sup>\*</sup> Weitere Einzelheiten zu der Kristallstrukturbestimmung können beim Fachinformationszentrum Energie, Physik, Mathematik, D-7514 Eggenstein-Leopoldshafen 2, unter Angabe der Hinterlegungsnummer CSD 53059, der Autoren und des Zeitschriftenzitates angefordert werden.

- [1] M. G. Kanatzidis, N. C. Baenziger, D. Coucouvanis, A. Simopoulos und A. Kostikas, J. Am. Chem. Soc. 106, 4500 (1984).
- [2] M. G. Kanatzidis, D. Coucouvanis, A. Simopoulos, A. Kostikas und V. Papaefthymiou, J. Am. Chem. Soc. 107, 4925 (1985).
- [3] T. D. P. Stack und R. H. Holm, J. Am. Chem. Soc. 109, 2546 (1987).
- [4] H. Beinert, M. H. Emptage, J. L. Dreyer, R. A. Scott, J. E. Hahn, K. O. Hodgson und A. J. Thomson, Proc. Natl. Acad. Sci. USA 80, 393 (1983); J.-J. Girerd, G. C. Papaefthymiou, A. D. Watson, E. Gamp, K. S. Hagen, N. Edelstein, R. B. Frankel und R. H. Holm, J. Am. Chem. Soc. 106, 5941 (1984).
- [5] W. Saak und S. Pohl, Z. Naturforsch. 40b, 1105 (1985).
- [6] W. Saak, G. Henkel und S. Pohl, Angew. Chem. 96, 153 (1984); Angew. Chem., Int. Ed. Engl. 23, 150 (1984).
- [7] M. G. Kanatzidis, W. R. Dunham, W. R. Hagen und D. Coucouvanis, J. Chem. Soc. Chem. Commun.

- **1984,** 356; M. G. Kanatzidis, W. R. Hagen, W. R. Dunham, R. K. Lester und D. Coucouvanis, J. Am. Chem. Soc. **107,** 953 (1985).
- [8] S. Pohl und W. Saak, Angew. Chem. 96, 886 (1984); Angew. Chem., Int. Ed. Engl. 23, 907 (1984).
- [9] S. Pohl und W. Saak, unveröffentlicht.
- [10] S. Pohl und W. Saak, Z. Naturforsch. 39b, 1236 (1984).
- [11] W. Saak und S. Pohl, Z. Anorg. Allg. Chem. 552, 186 (1987).
- [12] S. Pohl und W. Saak, Z. Naturforsch. 43b, 457 (1988).
- [13] J. M. Berg und R. H. Holm, in: T. G. Spiro (Hrsg.): Metal Ions in Biology, Vol. IV, S. 1, John Wiley, New York (1982).
- [14] G. M. Sheldrick, SHELX 76, Program for Crystral Structures Determination, University of Cambridge, England (1976); G. M. Sheldrick, SHELXS-86, Göttingen (1986).
- [15] S. Pohl, Z. Kristallogr. 159, 211 (1982).
- [16] International Tables for X-ray Crystallography, Vol. IV, Kynoch Press, Birmingham (1974).